

# Расчет коэффициентов самоуширения спектральных линий молекулы D<sub>2</sub>O в модели точных траекторий

В.И. Старикив\*

Томский государственный университет систем управления и радиоэлектроники  
634050, г. Томск, пр. Ленина, 40

Поступила в редакцию 22.01.2008 г.

Проведено вычисление коэффициентов уширения  $\gamma$  и сдвига  $\delta$  колебательно-вращательных линий поглощения молекулы D<sub>2</sub>O в полосах  $v_2$ ,  $v_1 + v_2$ ,  $3v_2$  и  $v_2 + v_3$  собственным давлением. Использовалась модель точных траекторий. Исследованы влияние случайных резонансов на значения  $\gamma$  и  $\delta$  и асимптотическое поведение этих коэффициентов при больших вращательных квантовых числах в полосе  $v_2$ . Определены параметры аналитической модели для коэффициентов самоуширения  $\gamma$ , позволяющей рассчитывать коэффициенты  $\gamma$  без использования полуклассических методов.

*Ключевые слова:* самоуширение, D<sub>2</sub>O, случайные резонансы, аналитическое выражение.

## Введение

Водяной пар является объектом многочисленных спектроскопических исследований. Главное внимание в литературе уделяется основной изотопической модификации H<sub>2</sub><sup>16</sup>O, на остальные модификации приходятся десятые доли процента. Тем не менее исследование спектроскопических свойств изотопических модификаций молекулы водяного пара дает дополнительную информацию о параметрах и свойствах молекулы, что вызывает устойчивый интерес к изучению колебательно-вращательных (КВ) спектров ее изотопов.

В настоящей статье представлен расчет коэффициентов самоуширения  $\gamma$  и самосдвига  $\delta$  (т.е. собственным давлением) для полосы  $v_2$ , хорошо изученной до больших значений вращательных квантовых чисел  $J \sim 25$ ,  $K_a \sim 25$ . Это дает возможность исследовать асимптотическое поведение этих коэффициентов.

Кроме того, исследовано влияние случайных резонансов на значение  $\gamma$  и  $\delta$  в молекуле водяного пара. Для этой цели молекула D<sub>2</sub><sup>16</sup>O является даже более удобным объектом для исследования, чем H<sub>2</sub><sup>16</sup>O, поскольку в ней случайные резонансы для низких полидад взаимодействующих состояний проявляются уже для малых значений вращательного квантового числа  $J$ . И наконец, определены параметры аналитической модели для коэффициентов самоуширения  $\gamma$ , позволяющей проводить расчеты этих коэффициентов и их температурную зависимость без использования полуклассических методов расчета. Такие расчеты могут быть полезны для оценки коэффициентов  $\gamma$  различных колебательных полос D<sub>2</sub><sup>16</sup>O.

## Метод расчета

Для колебательно-вращательной линии поглощения ( $i$ ) → ( $f$ ) ( $i$  и  $f$  – совокупности КВ квантовых чисел) коэффициенты  $\gamma_{if}$  и  $\delta_{if}$  определялись по формуле

$$\gamma_{if} + i\delta_{if} = \frac{n}{c} \sum_{J_2} \rho_{J_2} \sigma_{J_2}, \quad (1)$$

в которой комплексная величина  $\sigma_{J_2}$  вычислялась в методе Робера – Бонами [1] с использованием соотношения

$$\sigma_{J_2} = \int_0^{\infty} v F(v) dv \int_{r_0}^{\infty} D r_c dr_c \left[ 1 - (1 - S_2^{middle'}) \times \right. \\ \left. \times \exp(-iS_1 - S_{2,i}^{outer} - S_{2,f}^{outer*} - S_2^{middle''}) \right], \quad (2)$$

где  $D$  – якобиан перехода от переменных  $\{b, v\}$  к  $\{r_c, v\}$  ( $b$  – прицельный параметр,  $r_c$  – наименьшее расстояние между взаимодействующими молекулами), величина  $r_0$  определена в [1];  $S_2^{middle''}$  означает часть  $S_2^{middle}$ , которая диагональна по квантовым числам возмущающей молекулы и  $S_2^{middle'} = S_{2,i}^{middle} - S_{2,i}^{middle''}$ . Помимо этого, в формулах (1), (2)  $n$  – плотность газа;  $J_2$  – квантовые числа для вращательного состояния возмущающей молекулы;  $\rho_{J_2}$  – статистический вес этого состояния;  $F(v)$  – Больцмановская функция распределения молекул по скоростям  $v$ . Все формулы для функций прерывания  $S(b)$  взяты из [2], но в них использовались модельные резонансные функции (MET-функции), т.е. это модельные представления для функций, полученных в модели точных траекторий. Эти функции определены в [3–6] для изотропного потенциала, выбранного в форме

\* Виталий Иванович Старикив (star@iao.ru).

потенциала Леннарда – Джонса. Их применение к расчету коэффициентов самоуширения линий поглощения для серии колебательных полос основной изотопической модификации позволило существенно улучшить качество расчетов [6]. В настоящей статье, так же как и в [6], для потенциала Леннарда – Джонса использовались параметры  $\varepsilon/k_B = 356$  К,  $\sigma = 2,725$  Å. Отметим, что в некоторых публикациях приведено несколько наборов параметров этого потенциала для водяного пара. Так, например, в [7] обсуждаются значения 11 наборов таких параметров.

Используемые в данной статье параметры  $\varepsilon$  и  $\sigma$  получены из второго вириального коэффициента [8]. Именно они улучшают качество восстановления коэффициентов  $\gamma$  и  $\delta$  для основной изотопической модификации [6]. Значения электрооптических параметров для молекулы  $D_2^{16}\text{O}$  взяты те же, что и для  $H_2^{16}\text{O}$  (см. [3]).

## Полоса $v_2$

Эта полоса изучена до больших вращательных квантовых чисел  $J \sim 25$ ,  $K_a \sim 25$  [9]. Данные [9] по вращательным уровням энергий основного и (010) колебательного состояний были использованы для получения волновых функций, необходимых в расчетах коэффициентов уширения и сдвига. Метод получения КВ-волновых функций описан в [3, 10].

Коэффициенты  $\gamma$  и  $\delta$  были рассчитаны для переходов с вращательными квантовыми числами конечного состояния  $J_f = 25$ ,  $K_{a,f} = 25$  для  $\Delta J = J_f - J_i = 0, \pm 1$ ,  $\Delta K = |K_{a,f} - K_{a,i}| = 1, 3$  для комнатной температуры  $T = 296$  К. Для температур  $T = 216, 256, 400, 600, 800, 1200$  К расчеты проведены для  $J_f = 15$ ,  $K_{a,f} = 15$  с  $\Delta J = 0, \pm 1, \Delta K = 1; 3$ . Всего было рассчитано около 20 820 значений  $\gamma$  и столько же значений  $\delta$ .

Сравнение коэффициентов  $\gamma$ , вычисленных для линий  $D_2^{16}\text{O}$  и  $H_2^{16}\text{O}$ , имеющих одинаковый набор вращательных квантовых чисел нижнего и верхнего состояний, показано на рис. 1 и 2. На рис. 1 все данные расположены в порядке возрастания  $\gamma$  для линий  $D_2^{16}\text{O}$ .

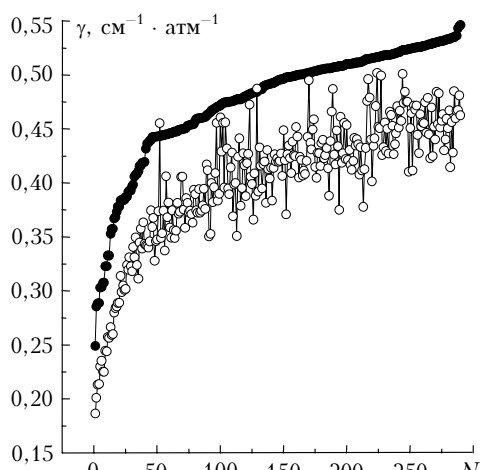


Рис. 1. Сравнение коэффициентов самоуширения  $\gamma$  для линий полосы  $v_2$  ( $J_f < 7$ ) в молекулах  $H_2^{16}\text{O}$  (светлые кружки) и  $D_2^{16}\text{O}$  (темные)

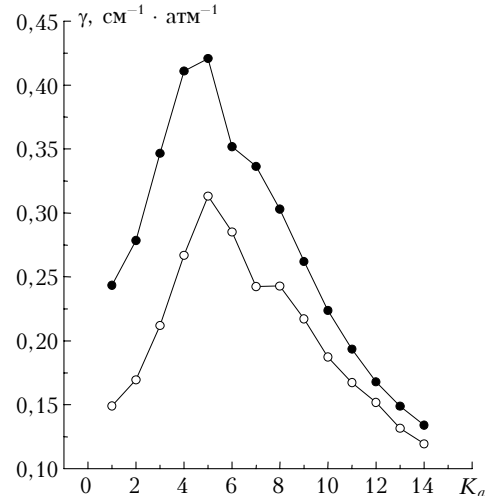


Рис. 2. Зависимость коэффициентов самоуширения  $\gamma$  для линий  $[J, K_a, K_c] \rightarrow [J, K_a + 1, K'_c]$  полосы  $v_2$  ( $J = 15$ ) в молекулах  $H_2^{16}\text{O}$  (светлые кружки) и  $D_2^{16}\text{O}$  (темные)

На рис. 2 показана зависимость от вращательного квантового числа  $K_a$ . Видно, что вычисленные значения  $\gamma$  для  $D_2^{16}\text{O}$  систематически выше, чем для  $H_2^{16}\text{O}$ , однако отношение  $\gamma_{D_2\text{O}}/\gamma_{H_2\text{O}}$  меняется от линии к линии и в асимптотике больших значений вращательных квантовых чисел  $J$  или  $K_a$  это отношение близко к единице. Вычисленное асимптотическое поведение коэффициентов самоуширения  $\gamma$  показано на рис. 3.

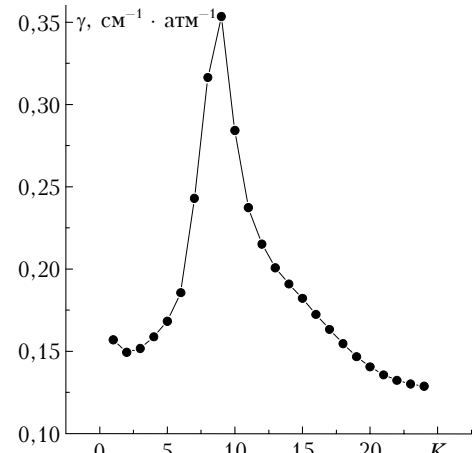


Рис. 3. Асимптотическая зависимость коэффициента самоуширения  $\gamma$  от квантового числа  $K_a$  ( $J = 25$ ) для линий  $[J, K_a, K_c] \rightarrow [J - 1, K_a + 1, K'_c]$  полосы  $v_2$  молекулы  $D_2^{16}\text{O}$

Видно, что при данном вращательном квантовом числе  $J = 25$  в полосе с  $\Delta J = -1$  зависимость от  $K_a$  имеет максимум при  $K_a \sim 10$  и для  $K_a \rightarrow J$  значения  $\gamma$  стремятся к постоянному числу. Такое поведение является типичным и наблюдается для других переходов.

## Полосы $v_1 + v_2$ , $3v_2$ и $v_2 + v_3$

Для получения волновых функций взаимодействующих колебательных состояний (110), (030) и (011)

из второй триады были использованы данные из [11]. Расчет волновых функций проведен для  $J \leq 10$ . Резонансные взаимодействия в этой триаде проявляются уже при малых значениях вращательного квантового числа  $J$ . В табл. 1 приведены коэффициенты смешивания для волновых функций вращательных уровней энергий с  $J = 8$  колебательного состояния (110). Они показывают, что эти уровни энергий, за исключением, быть может, последней пары, находятся в сильном резонансном взаимодействии с уровнями энергий других колебательных состояний (030) и (011).

Таблица 1  
Коэффициенты смешивания (%) волновых функций  
для уровней энергий с  $J = 8$   
колебательного состояния (110) молекулы  $D_2^{16}O$

Вычисленные уровни энергий, $\text{см}^{-1}$	$J K_a K_c$	(030)	(110)	(011)
4223,4252	8 0 8	14,47	71,29	14,24
4223,5954	8 1 8	14,40	71,27	14,32
4297,4951	8 1 7	19,35	71,97	8,67
4301,3137	8 2 7	18,38	72,05	9,58
4347,0851	8 2 6	23,82	69,88	6,30
4370,2034	8 3 6	21,04	72,46	6,49
4385,4684	8 3 5	24,23	70,79	4,98
4443,0456	8 4 5	21,01	72,95	6,04
4444,6860	8 4 4	21,32	71,65	7,04
4530,0547	8 5 4	17,51	71,40	11,09
4529,9749	8 5 3	17,25	70,35	12,40
4644,5731	8 6 3	12,97	39,85	47,18
4644,4959	8 6 2	13,08	40,32	46,61
4761,7227	8 7 2	13,42	81,29	5,29
4761,7227	8 7 1	13,42	81,29	5,29
4898,5115	8 8 1	5,98	92,78	1,24
4898,5115	8 8 0	5,98	92,78	1,24

Для того чтобы исследовать влияние случайных резонансов на значения  $\gamma$  и  $\delta$ , дополнительно были получены волновые функции в модели изолированных колебательных состояний (110), (030) и (011). В качестве примера на рис. 4 и 5 показаны значения  $\gamma$  и  $\delta$ , вычисленные для полосы  $v_1 + v_2$  в двух приближениях.

В первом приближении состояние (110) рассматривалось совместно с колебательными состояниями (030) и (011) (резонансное приближение), во втором это состояние рассмотрено как изолированное (приближение изолированного состояния). Максимальная разность (порядка 25%) в значениях коэффициентов  $\gamma$  получается для переходов, для которых коэффициент смешивания вовлеченные в переход уровни энергий из табл. 1 составляют около 50%.

Очень сильное влияние случайные резонансы оказывают на вычисленные значения коэффициентов самосдвига, о чем свидетельствует рис. 5. Разность в значениях коэффициентов  $\delta$ , полученных с учетом и без учета случайных резонансов, может достигать сотни процентов. Рис. 4 и 5 свидетельствуют о необходимости строгого учета случайных резонансов в схемах расчетов коэффициентов самоширения и самосдвига для молекулы  $D_2^{16}O$ .

Расчет коэффициентов самоширения спектральных линий молекулы  $D_2O$  в модели точных траекторий 759

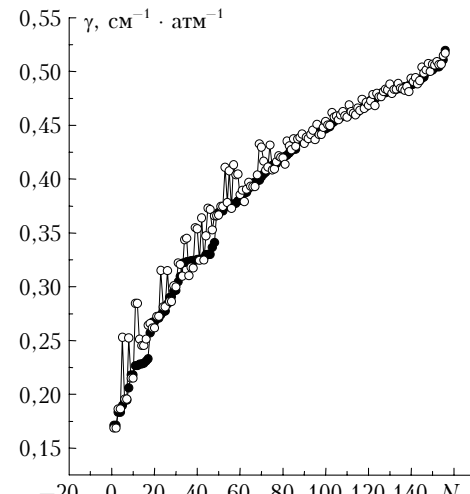


Рис. 4. Сравнение коэффициентов самоширения  $\gamma$  молекулы  $D_2^{16}O$ , вычисленных для линий полосы  $v_1 + v_2$  ( $J_f = 8$ ) с учетом (темные кружки) и без учета (светлые) влияния случайных резонансов

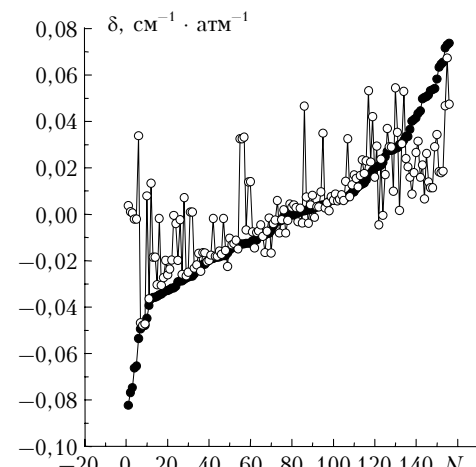


Рис. 5. Сравнение коэффициентов самосдвига  $\delta$  молекулы  $D_2^{16}O$ , вычисленных для линий полосы  $v_1 + v_2$  ( $J_f = 8$ ) с учетом (темные кружки) и без учета (светлые) влияния случайных резонансов

## Моделирование рассчитанных значений $\gamma$

Для полосы  $v_2$ , как отмечено выше, были проведены расчеты коэффициентов  $\gamma$  и  $\delta$  для температур  $216 \leq T \leq 1200$  К. Эти расчеты проведены с целью моделирования температурной зависимости коэффициентов уширения  $\gamma$ .

В работах [3, 12] были предложены аналитические формулы для определения коэффициентов  $\gamma$ , содержащие подгоночные параметры, которые определяются из вычисленных или экспериментальных значений для  $\gamma$ . Одна из них, с небольшой модификацией, а именно:

$$\gamma(K_i, K_f) = \gamma(\text{sur}) = x_1 + (x_2 + x_5(-1)^{J_i+K_i+K_{c,i}}) \times \\ \times (1/\text{Ch}[x_3(K_i - x_4)] + 1/\text{Ch}[x_3(K_f - x_4)]), \quad (3)$$

в которой

$$x_k = x_{k0} + x_{k1}(J_i + J_f) + x_{k2}(J_i + J_f)^2, \quad (4)$$

использовалась в данной статье. Модификация связана с введением дополнительного слагаемого, содержащего параметр  $x_5$ . Это слагаемое учитывает зависимость коэффициента самоуширения от квантового числа  $K_c$  у начального вращательного состояния. Зависимость параметров  $x_k$  от температуры выбрана в виде

$$x_k(J, T) = x_k(J, T_0)(T/T_0)^{n_k}, \quad (5)$$

в котором  $x_k(J, T_0)$  определяются соотношением (4). Обычно температурную зависимость  $\gamma$  при небольших изменениях  $T$  моделируют соотношением

$$\gamma(T) = \gamma(T_0)(T_0/T)^n. \quad (6)$$

Параметры модели (3), (4)  $x_{k0}$ ,  $x_{k1}$ ,  $x_{k2}$ ,  $n_k$  ( $k = 1, \dots, 5$ ) определялись методом наименьших квадратов из вычисленных значений  $\gamma$  и представлены в табл. 2.

Таблица 2

**Параметры  $x_k(T_0)$  ( $T_0 = 296$  К) и  $n_k$  из формул (3) и (4), которые определяют температурную зависимость коэффициентов самоуширения молекулы  $D_2^{16}O^*$**

Параметр	Значение	Параметр	Значение
$x_{10}$	$0,1253 \pm 0,0001$	$n_3$	$-0,34648 \pm 0,01214$
$n_1$	$-0,63916 \pm 0,02123$	$x_{40}$	$-0,6066 \pm 0,0396$
$x_{20}$	$0,2216 \pm 0,0022$	$x_{41}$	$0,1867 \pm 0,0012$
$x_{21}$	$-(0,1348 \pm 0,0162) \cdot 10^{-2}$	$n_4$	0,0
$x_{22}$	$-(0,3196 \pm 0,0271) \cdot 10^{-4}$	$x_{50}$	0,0
$n_2$	$-0,77932 \pm 0,00743$	$x_{51}$	$(0,6234 \pm 0,0378) \cdot 10^{-3}$
$x_{30}$	$0,2116 \pm 0,0120$	$n_5$	$-2,0427 \pm 0,0646$
$x_{31}$	$0,01219 \pm 0,0008$		
$x_{32}$	$-(0,1820 \pm 0,0141) \cdot 10^{-3}$		

\* Параметры  $x_{10}$ ,  $x_{20}$ ,  $x_{21}$ ,  $x_{30}$  имеют размерность  $\text{см}^{-1} \cdot \text{атм}^{-1}$ , остальные параметры безразмерные.

Качество определения коэффициентов  $\gamma$  по аналитической формуле  $\gamma(\text{sur})$  (3) такое же, как для основной изотопической модификации [12]. Около 90% всех значений  $\gamma$  восстанавливается по модели  $\gamma(\text{sur})$  (3) с точностью 20% в сравнении с рассчитанными по формулам (1), (2) значениями  $\gamma$ , около 8,5% восстанавливаются с точностью от 20 до 40% и приблизительно 1,5% значений  $\gamma$  восстанавливаются с точностью от 40 до 50%.

## Заключение

Полученные параметры аналитической модели  $\gamma(\text{sur})$  (3) могут быть использованы для расчета

### V.I. Starikov. Calculation of the self-broadened linewidth coefficients of $D_2O$ absorption lines using exact trajectory model.

The self-broadened linewidth coefficients  $\gamma$  and pressure-induced frequency shift coefficients  $\delta$  of the  $v_2$ ,  $v_1 + v_2$ ,  $3v_2$  and  $v_2 + v_3$  vibrational bands of  $D_2O$  molecule were calculated in the framework of the semiclassical approach taking into account the exact trajectory model. The influence of the accidental resonances on values of  $\gamma$  and  $\delta$  was investigated. The computed linewidth coefficients  $\gamma$  were fitted to an empirical expression.

коэффициентов самоуширения  $\gamma$  линий поглощения  $D_2^{16}O$  для широкого интервала вращательных квантовых чисел ( $J, K_a \leq 25$ ) и температур, а также изучения спектров молекулы в других спектральных диапазонах. Дополнительно оценено влияние случайных результатов на вычисленные значения коэффициентов  $\gamma$  и  $\delta$ . Весьма существенно эти результаты влияют на значения коэффициентов самосдвига, о чем свидетельствует рис. 5.

Автор выражает благодарность С.Н. Михайленко и Е.Н. Стариковой за помощь в проведении численных расчетов.

- Robert D., Bonamy J. Short range effects in semiclassical molecular line broadening calculations // J. de Phys. 1979. V. 40. N 4. P. 923–943.
- Leavitt R.P. Pressure broadening and shifting in microwave and infrared spectra of molecules of arbitrary symmetry: An irreducible tensor approach // J. Chem. Phys. 1980. V. 73. N 11. P. 5432–5450.
- Стариков В.И., Лаврентьев Н.Н. Столкновительное уширение спектральных линий молекул атмосферных газов. Томск: Изд-во ИОА СО РАН, 2006. 308 с.
- Лаврентьев Н.Н., Стариков В.И. Аппроксимация резонансных функций для реальных траекторий в ударной теории уширения. I. Электростатические взаимодействия, действительные части // Оптика атмосф. и океана. 2005. Т. 18. № 9. С. 814–819.
- Lavrentieva N.N., Starikov V.I. Approximation of resonance functions for exact trajectories in the pressure-broadening theory. Real parts // Mol. Phys. 2006. V. 104. P. 2759–2766.
- Стариков В.И. Вычисление коэффициентов самоуширения линий поглощения водяного пара в модели точных траекторий // Оптика и спектроскопия. 2008. Т. 104. № 4. С. 576–587.
- Labani B., Bonamy J., Robert D., Hartmann J.M., Taine J. Collisional broadening of rotation-vibration lines for asymmetric top molecules. I. Theoretical model for both distant and close collisions // J. Chem. Phys. 1986. V. 84. N 8. P. 4256–4267.
- Гиришфельдер Дж., Куртис Ч., Бред Р. Молекулярная теория газов и жидкостей. М.: Изд-во иностр. лит-ры, 1961. 929 с.
- Mellau G., Mikhailenko S.N., Starikova E.N., Tashkin S.N., Over H., Tyuterev Vl.G. Rotational levels of the (000) and (010) state of  $D_2^{16}O$  from hot emission spectra in the 320–860  $\text{cm}^{-1}$  region // J. Mol. Spectrosc. 2004. V. 224. P. 32–60.
- Протасевич А.Е., Михайленко С.Н., Стариков В.И. Высоковозбужденные вращательные состояния  $H_2O$ . Уширение и сдвиги линий собственным давлением. Полоса  $v_2$  // Оптика атмосф. и океана. 2002. Т. 15. № 9. С. 790–796.
- Starikova E.N., Mikhailenko S.N., Mellau G.C., Tyuterev Vl.G. Analysis of (030), (110), and (011) interacting states of  $D_2^{16}O$  from hot temperature emission spectra // Proc. SPIE. 2006. V. 6580. 658008.
- Стариков В.И., Протасевич А.Е. Аналитическое представление для коэффициентов самоуширения водяного пара // Оптика и спектроскопия. 2005. Т. 98. № 3. С. 368–373.